

## \* مدل‌سازی و تحلیل همزمان مسایل تنش مسطح با مصالح FG به روش ایزوژئومتریک\*

(یادداشت پژوهشی)

ناصر ظریف مقدم<sup>(۱)</sup>بهروز حسنی<sup>(۲)</sup>

**چکیده** در دهه‌های اخیر، نوع جدی‌ای از مواد کامپوزیت که در واقع پیشرفت‌هه ترین نوع آن‌ها نیز می‌باشد، در دنیا معرفی شده است که با عنوان مصالح FG شناخته می‌شوند. در این مصالح، مدول الاستیسیته به صورت یکتابع پیوسته در سراسر دامنه مسئله تغییر می‌کند. با توجه به این‌که روش اجزای محدود در حل این دسته از مسایل دارای نقاط ضعف مشخصی می‌باشد، لذا در این پژوهش به روش مدل‌سازی و تحلیل سازه‌های ساخته شده با این مصالح با روش ایزوژئومتریک پرداخته و برخی از نقاط ضعف روش اجزای محدود نیز بدین وسیله برطرف شده است. از مزایای روش ایزوژئومتریک نسبت به روش اجزای محدود، می‌توان به حلقه مرحله‌ی شبکه‌بنای مسئله و کاهش چشمگیر تعداد مجھولات و ابعاد دستگاه معادلات حاصله نام برد. در انتها نیز با حل مثال، دقت و توانمندی این روش، نشان داده شده است.

**واژه‌های کلیدی** روش ایزوژئومتریک، مصالح FG، مسایل تنش مسطح، تکنیک نربز

## An Isogeometrical Approach to the Simultaneous Modeling and Analysis of FGM Plane Stress Problems

B. Hassani

N. Z. Moghaddam

**Abstract** The Functionally Graded Materials (FGM) have been introduced in the last few decades. In these materials the modulus of elasticity can vary as a continuous function throughout the domain of the problem. Due to some weaknesses of the Finite Element Method (FEM) in dealing with these problems, a slightly different version of the recently developed Isogeometric Analysis (IA) method is employed to overcome some of the deficiencies of the FEM. Amongst the benefits of the proposed method, elimination of the burden of mesh generation and a considerable reduction in the size of unknowns and consequently the number of the resulted equations can be named. Finally, the accuracy and robustness of the method is illustrated by a couple of examples.

**Key Words** Isogeometric Analysis, Functionally Graded Materials, Plane Elasticity, NURBS.

\*نسخه‌ی اول مقاله در تاریخ ۱۳۸۸/۱۰/۲ و نسخه‌ی نهایی آماده چاپ آن در تاریخ ۱۳۸۹/۸/۲۹ می‌باشد.

(۱) دانشیار گروه عمران، دانشگاه صنعتی شاهرود

(۲) عهده‌دار مکاتبات: دانشجوی دکتری سازه، دانشگاه صنعتی شاهرود

## اما روش اجزای محدود دارای معايیت نیز

می‌باشد. مثلاً با این‌که این روش، توانایی مدل‌سازی اشکال پیچیده را دارد، ولی برای بالا رفتن دقت لازم است که تعداد یا مرتبه‌ی المان‌ها افزایش یابد که خود سبب بزرگ شدن دستگاه معادلات حاکم و گاه حل مسائل ناممکن یا بسیار سخت و زمان‌بر می‌شود. تولید شبکه‌ی اجزای محدود نیز از اشکالات دیگر روش مذکور است که تاکنون وقت زیادی را از محققین برای تولید روش‌های پایدار و کارآمد تولید شبکه گرفته است. هم‌چنین به طور میانگین برای حل یک مسئله‌ی اجزای محدود، حدود هشتاد درصد، زمان حل مسئله صرف تولید شبکه اجزای محدود می‌شود [1]. اشکالات دیگری نیز در روش اجزای محدود وجود دارد که در ادامه بیان می‌شود.

روش عددی حل مسائل با استفاده از اسپلاین‌ها، روشی جدید است که مفاهیم آن در سال ۲۰۰۵ برای اولین بار توسط هیوز (Hughes) و هم‌کارانش با نام روش ایزوژئومتریک معرفی گردید [1]. این روش مبتنی بر درک هندسی از مسئله و تولید جواب‌های مسئله با استفاده از اسپلاین‌ها و نوع توانمندتر آن، یعنی نربز (NURBS (Non-Uniform Rational B-Spline)) می‌باشد. روش ایزوژئومتریک علاوه بر داشتن مزایای روش اجزای محدود، برخی از معايب آن را نیز مرتفع نموده است. در واقع مدل‌سازی دقیق شکل مسئله در مقایسه با روش اجزای محدود، مدل‌سازی دقیق شرایط تکیه‌گاهی در مقایسه با روش اجزای محدود که شرایط تکیه‌گاهی فقط در محل گره‌ها قابل اعمال است، عدم نیاز به تولید شبکه و کاهش چشم‌گیر ابعاد دستگاه معادلات از مزایای روش ایزوژئومتریک می‌باشد [1,2].

## مصالح FG (Functionally Graded Materials)

نیز امروزه به عنوان یکی از پیشرفت‌هه ترین انواع مواد کامپوزیت شناخته می‌شود. این مصالح به گونه‌ای ساخته می‌شوند که در آن‌ها تغییرات در جنس مصالح به نسبت توزیع مصالح در حجم ماده وابسته است و مانند

## مقدمه

امروزه برای حل مسائلی که پیش روی مهندسین و محققین قرار دارد، ناگزیر به حل معادلاتی می‌شوند که اغلب دارای شکل دیفرانسیلی بوده و در واقع با حل این معادلات دیفرانسیل، مسئله تحلیل شده و به جواب مورد نظر دست می‌یابیم. اما چون تعداد محدودی از این معادلات را می‌توان به صورت تحلیلی حل نمود، لذا روش‌های حل دیگری که آن‌ها را با عنوان روش‌های عددی می‌شناسیم، توسعه یافته‌اند. البته روش‌های عددی با ظهور کامپیوترها رشد چشم‌گیری داشته‌اند و امروزه به کمک کامپیوترها و روش‌های عددی موجود، قادر به حل معادلات بسیار پیچیده در حوزه‌های متنوع علم می‌باشیم. برخی از روش‌های عددی معروف، عبارتند از: روش تفاضلات محدود (FDM) ( Finite Difference Method)، روش اجزای محدود (FEM) ( Finite Element Method)، روش نقطه محدود (Method) و روش‌های جدیدتری مانند: روش تحلیل ایزوژئومتریک (Isogeometric Analysis). این روش‌ها هر یک در پی دیگری آمده و دو هدف اصلی را دنبال کرده‌اند. این اهداف عبارتند از: اولاً ایجاد کارایی، دقت و سرعت بالاتر و ثانیاً ایجاد امکاناتی جدیدتر برای حل مسائل و رفع مشکلات روش‌های قبلی. استفاده از روش اجزای محدود در تحلیل سازه‌های پیچیده و مکانیک محاسباتی به امری معمول تبدیل شده است. شاید بتوان گفت که توسعه‌ی این روش در سال‌های گذشته و وجود نرم افزارهای متعدد تجاری، سبب کاربرد وسیع این روش در علوم مختلف از جمله علوم سازه و مکانیک شده است؛ اما باید دانست مزایای مهمی مانند سیستماتیک بودن روش اجزای محدود در یافتن توابع تقریب زننده، مدل‌سازی شکل‌های پیچیده، قابلیت تبدیل به الگوریتم‌ها و کدهای کامپیوتری و پیشرفت سریع کامپیوترها، از علل فراگیر شدن استفاده از این روش می‌باشد.

مصالح برخوردارند. در واقع در این مصالح، مدول الاستیستیته از یک طرف جسم تا طرف دیگر آن، به صورت پیوسته و با هر نوع تابع دلخواهی می‌تواند تغییر کند. علت تغییرات در مشخصات مکانیکی این مصالح، وجود تغییرات در توزیع مصالح در حجم جسم است. از مزایای این مصالح نسبت به کامپوزیت‌ها می‌توان به حذف مشکل چسبندگی مصالح مختلف و همچنین لایه لایه شدن (delamination) و ایجاد تمرکز تنش در محل اتصال مصالح مختلف نام برد [9].

دو مشکل اساسی پس از معرفی تئوری مصالح FG در مقابل محققین قرار دارد: اول این‌که این مصالح در عمل چگونه تولید شوند که مورد بحث این مقاله نمی‌باشد. مشکل دوم این است که پس از ساخت این مصالح، چگونه می‌توان آن‌ها را تحلیل نمود؟ در مورد اخیر می‌توان از روش اجزای محدود کمک گرفت؛ ولی مشکلات زیادی به علت محدودیت‌های روش اجزای محدود ایجاد می‌شود. مثلاً عدم وجود یک المان مناسب برای تحلیل این مسایل که بتواند تغییرات مدول الاستیستیته را در خود جای دهد، اولین مشکل است. در غیر این صورت باید از المان‌هایی استفاده کرد که مشخصات مکانیکی آن المان میانگینی از مشخصات مکانیکی توزیع شده در سطح المان باشد؛ لذا در عمل برای بالا بردن دقت حل مسئله بایستی تعداد المان‌ها را به شکل چشم‌گیری زیاد کرد که خود سبب بزرگ شدن دستگاه معادلات و از دید زمان حل مسئله می‌شود. همچنین بایستی به تعداد المان‌ها اقدام به تعریف مصالح جدید نمود. به علت وجود همین مشکلات است که مسایل مربوط به مصالح FG فقط برای برخی حالات ساده و مشخص (به عنوان مثال مسایل تقارن محوری با توزیع توانی یا لگاریتمی مصالح) و به صورت تحلیلی حل شده است؛ البته کارهایی با روش اجزای محدود نیز انجام شده که به علت کامل نبودن آن‌ها هنوز هیچ یک از نرم افزارهای معروف اجزای محدود در دنیا قادر به حل کلی مسایل با مصالح FG نمی‌باشند. در این پژوهش

کامپوزیت‌های مرسوم این تغییرات مصالح ناگهانی نمی‌باشد؛ لذا تغییرات توزیع مصالح در حجم ماده سبب می‌شود تا مدول الاستیستیته نیز در کل دامنه تغییر نماید [3]. این تغییرات می‌توانند به صورت خطی، نمایی، لگاریتمی و غیره باشد که به چگونگی فرایند تولید این مصالح وابسته است [4,5]. در ادامه به جزئیات بیشتری در خصوص مصالح FG اشاره خواهد شد.

در این مقاله در بخش دوم به معرفی مصالح FG و در بخش سوم به معرفی اسپلاین‌ها و تکنیک نربز و شرح مختصر پارامترهای آن‌ها پرداخته‌ایم. در بخش سوم روش ایزوژئومتریک را در مقایسه با روش اجزای محدود معرفی کرده و در بخش چهارم، روش فرمولبندی مسایل تنش/کرنش مسطح ایزوتروپیک با استفاده از روش ایزوژئومتریک بیان شده است. در بخش پنجم نیز با حل مسایلی، توانایی روش مذکور را نشان داده‌ایم. در انتها نیز به بیان نتایج و پیشنهاداتی در این خصوص پرداخته شده است.

## معرفی مصالح FG

تئوری مصالح FG برای اولین بار در دهه‌ی هشتاد میلادی، توسط گروهی از محققان علم مواد در ژاپن به دنیا معرفی شدند [3]. این مصالح، گونه‌ی جدیدی از مصالح کامپوزیت هستند که در ابتدا برای تحمل گرادیان‌های حرارتی در المان‌های مکانیکی به کار گرفته شدند؛ اما بعداً کاربردهای بسیار متنوع‌تری برای آن‌ها معرفی گردید از جمله‌ی این کاربردها این است که می‌توان از آن‌ها در کلیه‌ی قطعات مکانیکی و سازه‌ای که تحت گرادیان‌های شدید حرارتی، محیط‌های خورنده و غیره قرار دارند، استفاده نمود [4-8]. امروزه نیز از این مصالح به عنوان توصیه شده ترین گزینه برای تولید کامپوزیت‌های هوشمند، یاد می‌شود.

مصالح FG که گاه از آن‌ها با عنوان مصالح ناهمگن نیز یاد می‌شود، معمولاً دارای خواص مکانیکی، حرارتی، الکتریکی، خوردگی و ... بهتری نسبت به

$$N_{i,0}(u) = \begin{cases} 1 & \text{if } u_i \leq u < u_{i+1} \\ 0 & \text{otherwise} \end{cases}$$

$$N_{i,p}(u) = \frac{u - u_i}{u_{i+p} - u_i} N_{i,p-1}(u) + \frac{u_{i+p+1} - u}{u_{i+p+1} - u_{i+1}} N_{i+1,p-1}(u)$$

(1)

- با توجه به روابط فوق، برخی از خواص پارامترهای موجود عبارتنداز:
۱.  $N_{i,0}(u)$  یک تابع پله‌ای (Step Function) بوده و به جز در بازه  $(u_i, u_{i+1})$  مقدار آن در سایر نقاط صفر است.
  ۲. برای  $p > 0$ , آنگاه  $N_{i,p}(u)$  ترکیب خطی از دو تابع پایه با درجه  $p-1$  می‌باشد.
  ۳. برای محاسبه‌ی کلیه‌ی توابع پایه به بردار گره  $U$  و درجه‌ی  $p$  نیاز داریم.
  ۴. در صورتی که در رابطه (۱-۲) به تقسیم  $\% /$  بررسیم، آن را برابر با صفر لحاظ می‌کنیم.
  ۵.  $N_{i,p}(u)$ ‌ها، چند جمله‌ای‌های تکه‌ای (Piecewise Polynomial) هستند که بر روی یک خط حقیقی تعریف شده و فقط بازه  $[u_0, u_m]$  را تحت تأثیر قرار می‌دهند. در ادامه، برای سادگی به جای  $N_{i,p}(u)$  از  $N_i(p)$  استفاده می‌کنیم. همچنان به عنوان یک مثال اگر درجه تابع پایه به ترتیب برابر با  $p = 0, 1, 2$  و بردار گره  $U = \{0, 0, 0, 0.25, 0.5, 0.75, 1, 1\}$  باشد، می‌توان تابع پایه را در شکل (۱) ملاحظه نمود. سایر توابعی که نشان داده نشده‌اند، دارای مقدار صفر می‌باشند.

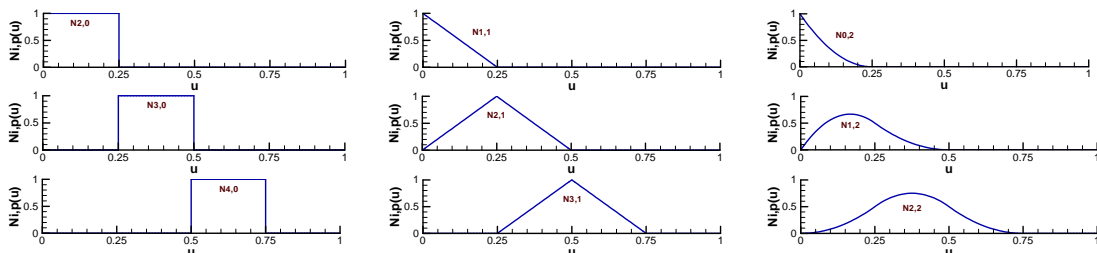
از روش ایزوژئومتریک که یکی از روش‌های عددی برای حل معادلات دیفرانسیل می‌باشد، برای حل مسائل استفاده شده است و مشکل اجزای محدود در خصوص مدل‌سازی مصالح نیز در این روش رفع شده است.

### معرفی اسپلاین‌ها و تکنیک نزدیک

اسپلاین‌ها در واقع ابزاری ریاضی هستند که می‌توان با استفاده از اطلاعات اندکی، منحنی‌ها و سطوح پیچیده را به صورت عددی مدل نمود [11]. برای تولید یک منحنی اسپلاین در حالت کلی بایستی با برخی از تعاریف و مفاهیم آن آشنا بود که به اختصار در ادامه آمده است.

**بردار گره.** بردار  $U = \{u_0, u_1, u_2, \dots, u_m\}$  را در نظر بگیرید. این بردار، شامل مجموعه‌ی ای از اعداد حقیقی است به طوری که رابطه‌ی:  $i = 0, 1, 2, \dots, m-1$  در  $u_i \leq u_{i+1}$  آن برقرار است. بردار  $U$  بردار گره (Knot Vector) و  $u_i$ ‌ها مقادیر گرهی (Knots) نامیده می‌شوند. بازه  $[u_i, u_{i+1}]$  را یک دهانه گرهی (Knot Span) نامیم (Knot Span) می‌نامیم که می‌تواند طول آن صفر باشد؛ زیرا گره‌ها لزوماً دارای مقادیر متمایز نمی‌باشند. اگر فاصله‌ی بین گره‌ها مساوی باشد، در این حالت بردار گره را یکنواخت (Uniform) می‌نامیم؛ در غیر این صورت، این بردار، غیر یکنواخت (Non-Uniform) خواهد بود.

**توابع پایه اسپلاین.** ۱. این تابع پایه اسپلاین با درجه  $p$  (یا مرتبه  $p+1$ ) را با  $N_{i,p}(u)$  نشان داده و به صورت رابطه‌ی (۱) تعریف می‌کنیم:



شکل ۱ شکل توابع پایه به ترتیب از چپ به راست برای درجات صفر و یک و دو

ایزوژئومتریک، برای حل مسایل از این فرمول‌ها برای مدل‌سازی جواب‌ها استفاده می‌کنیم. اطلاعات تکمیلی در این خصوص از مراجع [11,12] قابل دست‌یابی می‌باشد.

### روش ایزوژئومتریک در مقایسه با روش اجزای محدود

روش ایزوژئومتریک در اصل از ترکیب تکنیک‌های (CAD) (Computer Aided Design) طراحی توسط کامپیوتر و روش اجزای محدود حاصل شده است [13-17]. چهارچوب کلی تحلیل ایزوژئومتریک با استفاده از تکنیک نزیب در مقایسه با روش اجزای محدود، مبتنی بر اصولی می‌باشد (۱) که عبارتند از:

- در این روش به جای المان‌ها، شبه المان‌هایی را داریم که با ضرب بردارهای گره حاصل می‌شوند و باید توجه کرد که به هیچ عنوان مفهوم آن مانند المان‌ها در روش اجزای محدود نمی‌باشد. به عنوان مثال در مسایل دو بعدی مانند مسایل تنش/کرنش مسطح این شبکه المان به صورت  $\mathbf{U} \times \mathbf{V}$  خواهد بود که قبلاً به آن اشاره گردید.

- المان‌ها از تقسیم دامنه توسط دهانه‌های گرهی (Knot spans) به دست می‌آیند.

- هنده سه مسئله با مشارکت شبکه‌ی نقاط کنترلی و توابع پایه تولید می‌شود.

- با استفاده از مفهوم ایزوپارامتریک (Isoparametric) مجهولات مانند تغییر مکان‌ها، تنش‌ها، سرعت، حرارت و غیره را با همان توابع پایه‌ای که برای تعريف هندسه استفاده کرده‌ایم، بیان می‌نماییم.

- درجات آزادی عبارتند از متغیرهای کنترلی (Control variables) که همان ضرایب توابع پایه می‌باشند.

- رونده بهبود شبکه (Mesh refinement) نیز با استفاده از اضافه کردن گره، ارتقای درجه توابع پایه و یا ترکیبی از آن‌ها انجام می‌شود. این عمل، مشابه با روش‌های بهبود  $h$ ,  $p$  و  $hp$  در اجزای محدود است. البته روش جدیدی با نام روش بهبود  $k$  نیز در

تولید سطوح اسپلاین و نزیب. می‌توان یک سطح نزیب را که دارای درجه  $p$  در جهت  $u$  و درجه  $q$  در جهت  $v$  می‌باشد را با رابطه‌ی (۲) به شکل ذیل محاسبه نمود:

$$S(u, v) = \frac{\sum_{i=0}^n \sum_{j=0}^m N_{i,p}(u) N_{j,q}(v) w_{i,j} P_{i,j}}{\sum_{i=0}^n \sum_{j=0}^m N_{i,p}(u) N_{j,q}(v) w_{i,j}}, \quad 0 \leq u \leq 1, \quad 0 \leq v \leq 1 \quad (2)$$

که  $\{P_{i,j}\}$  شبکه‌ی نقاط کنترلی و  $\{w_{i,j}\}$  وزن مربوط به آن‌ها می‌باشد. توجه شود که اگر وزن کلیه‌ی نقاط مساوی یک لحظه شود، آنگاه منحنی‌ها و سطوح تولیدی را با عنوان اسپلاین می‌شناسیم؛ در غیر این صورت، منحنی‌ها و سطوح نزیب تولید می‌شوند. هم‌چنین  $\{N_{i,p}(u)\}$  و  $\{N_{j,q}(v)\}$  توابع پایه غیرگویا (Non-rational B-spline basis function) اسپلاین می‌باشند که بر روی بردارهای (۳) و (۴) تعریف می‌شوند:

$$\mathbf{U} = \{0, \dots, 0, u_{p+1}, \dots, u_{r-p-1}, 1, \dots, 1\} \quad (3)$$

$$\mathbf{V} = \{0, \dots, 0, v_{q+1}, \dots, v_{s-q-1}, 1, \dots, 1\} \quad (4)$$

توجه شود که روابط  $r = n + p + 1$  و  $s = m + q + 1$  نیز برقرار می‌باشند و اگر  $R_{i,j}^{p,q}(u, v)$  را به شکل رابطه‌ی (۵) تعریف کنیم:

$$R_{i,j}^{p,q}(u, v) = \frac{N_{i,p}(u) N_{j,q}(v) w_{i,j}}{\sum_{k=0}^n \sum_{l=0}^m N_{k,p}(u) N_{l,q}(v) w_{k,l}} \quad (5)$$

اکنون می‌توانیم رابطه‌ی (۵) را به شکل (۶) باز نویسی نماییم:

$$S(u, v) = \sum_{i=0}^n \sum_{j=0}^m R_{i,j}^{p,q}(u, v) P_{i,j} \quad (6)$$

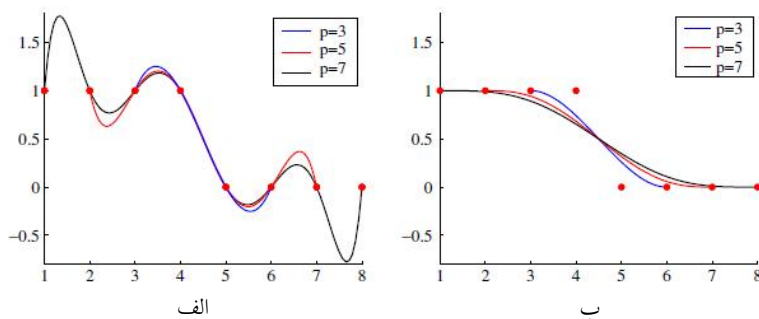
با استفاده از رابطه‌ی (۶) می‌توان هر گونه سطح و رویه‌ی پیچیده‌ای را مدل نمود که در اینجا در روش

پدیده‌ی گیز در جدول فوق، در واقع ناپایداری ناشی از تقریب زدن داده‌های ناپیوسته با چند جمله‌ای‌های جبری لاگرانژ می‌باشد که در شکل (۲-الف) نشان داده شده است. هم‌چنین ملاحظه می‌شود که با افزایش تعداد نقاط و در نتیجه درجه‌ی چندجمله‌ای، این نوسان شدیدتر می‌شود. ولی اگر داده‌ها به عنوان نقاط کنترلی در نظر گرفته شوند، استفاده از تکنیک نربر همانند شکل (۲-ب) سبب مشاهده‌ی رفتاری متفاوت در منحنی‌های تولیدی خواهد شد و در واقع میرایی در تغییرات را شاهد خواهیم بود. این خصوصیت سبب می‌شود تا بتوانیم محل هایی را که دارای تغییرات زیادی در هندسه‌ی جواب‌ها رخ می‌دهد، مدل نماییم [1].

تحلیل ایزوژئومتریک امکان‌پذیر است؛ اما چون مبحث این مقاله نمی‌باشد، توضیح داده نشده که می‌توان برای اطلاع بیشتر به مرجع [1] رجوع نمود. ۷. در مرحله‌ی روی‌هم‌گذاری (Assemble)، همانند روش اجزای محدود، آرایه‌های محاسبه شده برای وصله‌ها (Patches) در تحلیل ایزوژئومتریک در یک آرایه‌ی کلی قرار داده می‌شوند. برای ایجاد سازگاری (Compatibility) بین وصله‌ها، می‌توان از پارامترهای مشابه برای ساخت لبه‌ها یا سطوح دو طرف وصله (Patch Interfaces) استفاده نمود. در جدول (۱) می‌توان مقایسه‌ای بین روش اجزای محدود و روش ایزوژئومتریک از دیدگاه مشابهت برخی مشخصه‌های کلیدی در هریک از دو روش را ملاحظه نمود.

جدول ۱ مقایسه‌ی روش اجزای محدود و روش ایزوژئومتریک

روش ایزوژئومتریک	روش اجزای محدود
نقاط کنترلی	نقاط گرهی
متغیرهای کنترلی	متغیرهای گرهی
مقادیر گره‌ها در بردار گره	شبکه‌ی اجزای محدود
عدم انجام درونیابی نقاط و متغیرهای گرهی با توابع پایه	انجام درونیابی نقاط و متغیرهای گرهی با توابع پایه
هندرسی دقیق	هندرسی تقریبی
توابع پایه نربر	توابع پایه از نوع چندجمله‌ای‌های جبری
میرایی تغییرات (Variation diminishing)	پدیده‌ی گیز (Gibbs phenomena)
وصله‌ها	زیر دامنه‌ها



شکل ۲ (الف) درونیابی لاگرانژ برای داده‌های ناپیوسته، (ب) میرایی تغییرات برای داده‌های ناپیوسته با تکنیک نربر

$$\begin{aligned} c_{11} &= \frac{(1-\mu)E(x,y)}{1-\mu-2\mu^2}, \quad c_{22} = \frac{(1-\mu)E(x,y)}{(1+\mu)(1-\mu-2\mu^2)}, \\ c_{12} &= \frac{\mu E(x,y)}{1-\mu-2\mu^2}, \quad c_{66} = \frac{E(x,y)}{2(1+\mu)} \end{aligned} \quad (10)$$

در ادامه، جواب مسئله را به صورت روابط (۱۱) برای تغییر مکان  $u(r,s)$  و (۱۲) برای تغییر مکان  $v(r,s)$  در دامنه مسئله در نظر می‌گیریم که در واقع از تعریف تولید رویه اسپلاین حاصل شده است و تغییر مکان در دامنه مسئله در هر نقطه  $(r,s)$  متناظر با  $(x,y)$  در دامنه مسئله از روی ارتفاع رویه حل استخراج شده که  $r$  و  $s$  همان پارامترهایی هستند که مقادیرشان از بردار گره حاصل می‌شود:

$$\begin{aligned} u(r,s) &= \frac{\sum_{i=0}^n \sum_{j=0}^m N_{i,p}(r) N_{j,q}(s) w_{i,j} U_{i,j}}{\sum_{i=0}^n \sum_{j=0}^m N_{i,p}(r) N_{j,q}(s) w_{i,j}} \\ &= \sum_{i=0}^n \sum_{j=0}^m R_{i,j}^{p,q}(r,s) U_{i,j} \\ v(r,s) &= \frac{\sum_{i=0}^n \sum_{j=0}^m N_{i,p}(r) N_{j,q}(s) w_{i,j} V_{i,j}}{\sum_{i=0}^n \sum_{j=0}^m N_{i,p}(r) N_{j,q}(s) w_{i,j}} \\ &= \sum_{i=0}^n \sum_{j=0}^m R_{i,j}^{p,q}(r,s) V_{i,j} \end{aligned} \quad (11) \quad (12)$$

برای مدل‌سازی تغییرات مدول الاستیسیته در دامنه مسئله نیز از روابطی مانند رابطه‌ی فوق استفاده نموده و ضرایب ماتریس الاستیسیته را با  $\bar{c}_{11}(r,s)$ ,  $\bar{c}_{12}(r,s)$ ,  $\bar{c}_{22}(r,s)$  و  $\bar{c}_{66}(r,s)$  نشان می‌دهیم. همچنین در کلیه‌ی روابط باقیتی به جای  $x$  و  $y$  نیز از روابط پارامتری مشابه استفاده نموده و آنها را با پارامترهای  $r$  و  $s$  جایگزین نماییم [2]. اکنون می‌توان تابع‌نمایی (Functional) مربوطه را به شکل رابطه‌ی (۱۳) نوشت:

$$\Pi = \frac{1}{2} B(\mathbf{u}, \mathbf{u}) - l(\mathbf{u}) \quad (13)$$

که در این رابطه،  $\mathbf{u}$  بردار تغییر مکان و

### به دست آوردن فرمولبندی ایزوژئومتریک

در این بخش پس از دست‌یابی به تجربیاتی در خصوص روش ایزوژئومتریک در کارهای پژوهشی گذشته [18,19]، ابتدا به معرفی معادله‌ی دیفرانسیل حاکم بر مسایل تنش/کرنش مسطح نموده و سپس مراحل دست‌یابی به فرمولبندی روش ایزوژئومتریک برای حل این مسایل بیان می‌شود [2]. همان‌گونه که از تئوری الاستیسیته می‌دانیم، معادلات دیفرانسیل (۷) به طور همزمان بر مسایل تنش/کرنش مسطح حاکم می‌باشند:

$$\begin{aligned} \frac{\partial}{\partial x} \left[ c_{11} \frac{\partial u}{\partial x} + c_{12} \frac{\partial v}{\partial y} \right] + \frac{\partial}{\partial y} \left[ c_{66} \left( \frac{\partial u}{\partial y} + \frac{\partial v}{\partial x} \right) \right] + f_x &= 0 \\ \frac{\partial}{\partial x} \left[ c_{66} \left( \frac{\partial u}{\partial y} + \frac{\partial v}{\partial x} \right) \right] + \frac{\partial}{\partial y} \left( c_{12} \frac{\partial u}{\partial x} + c_{22} \frac{\partial v}{\partial y} \right) + f_y &= 0 \end{aligned} \quad (7)$$

در این معادلات، شرایط مرزی طبیعی به صورت روابط (۸) بیان می‌شوند:

$$\begin{aligned} t_x &= \left( c_{11} \frac{\partial u}{\partial x} + c_{12} \frac{\partial v}{\partial y} \right) n_x + c_{66} \left( \frac{\partial u}{\partial y} + \frac{\partial v}{\partial x} \right) n_y \\ t_y &= c_{66} \left( \frac{\partial u}{\partial y} + \frac{\partial v}{\partial x} \right) n_x + \left( c_{12} \frac{\partial u}{\partial x} + c_{22} \frac{\partial v}{\partial y} \right) n_y \end{aligned} \quad (8)$$

در این روابط،  $c_{ij}$ ‌ها ضرایب الاستیسیته می‌باشند که با فرض ثابت بودن ضریب پواسون در سراسر دامنه‌ی حل مسئله و تغییرات پیوسته در مقدار مدول الاستیسیته به صورت  $E(x,y)$ ، در حالت کلی برای مسایل تنش مسطح با مصالح ایزوتروپیک FG از روابط (۹) به شکل ذیل:

$$c_{11} = c_{22} = \frac{E(x,y)}{1-\mu^2}, \quad c_{12} = \frac{\mu E(x,y)}{1-\mu^2}, \quad c_{66} = \frac{E(x,y)}{2(1+\mu)} \quad (9)$$

و در مسایل کرنش مسطح با مصالح ارتوتروپیک از روابط (۱۰) به دست می‌آیند:

$$[\mathbf{K}]\{\mathbf{U}\} = \{\mathbf{F}\} \quad (16)$$

که در این رابطه،  $[\mathbf{K}]$ : ماتریس ضرایب،  $\{\mathbf{F}\}$ : بردار نیروها و  $\{\mathbf{U}\}$ : بردار تغییرمکان‌ها می‌باشند. در ادامه با حل مثال، کیفیت و توانمندی و دقت جواب‌ها در روش مذکور نشان داده شده است.

### حل مثال‌ها

در این بخش دو مثال حل شده است که در مثال اول برای نشان دادن توانمندی و صحت نتایج تحلیل با روش ایزوژئومتریک و مقایسه‌ی نتایج با روش اجزای محدود، مسئله به صورت ایزوتروپیک و بدون تغییرات در مدول الاستیستیته حل شده است. در مثال دوم، مسئله در حالت مرکب و مصالح FG حل و در مورد نتایج بحث شده است.

مثال ۱: در این مثال، فرض شده است که صفحه‌ی مستطیلی با اتصال گیردار در یک انتهای و در حالت تنش مسطح تحت اثر بار متتمرکز  $100.0$  در انتهای آزاد خود در گره مشخص شده در شکل (۳) قرار دارد. مقدار مدول الاستیستیته در کل دامنه برابر با مقدار ثابت  $1500.0$  و مقدار ضریب پواسون برابر با  $0.15$  فرض شده است. همان‌طور که در شکل (۳) دیده می‌شود، بعد از  $10$  در  $2$  با ضخامت واحد فرض شده است که ابتدا با روش اجزای محدود و با تقسیم دامنه به  $960$  المان چهار گرهی حل شده است. ملاحظه می‌شود که در روش اجزای محدود، حل مسئله منجر به حل دستگاه معادلاتی با حدود  $1000$  معادله و مجھول خواهد شد. سپس با استفاده از نرم افزار تهیه شده با روش ایزوژئومتریک نیز مسئله مجدداً حل و نتایج با روش اجزای محدود مقایسه شده است.

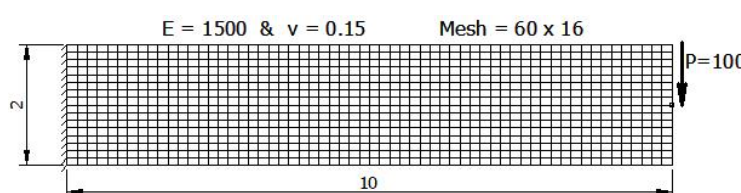
$B(\mathbf{u}, \mathbf{u})$  و  $(\mathbf{u})_1$  به ترتیب بخش‌های دوخطی و خطی (Linear) تابع‌نما طبق روابط (۱۴) و (۱۵) می‌باشند.

$$B(\mathbf{u}, \mathbf{u}) = h_{\text{patch}} \iint_{\Omega_{\text{patch}}} [\bar{c}_{11} (\frac{\partial u}{\partial x})^2 + 2\bar{c}_{12} \frac{\partial u}{\partial x} \frac{\partial v}{\partial y} + \bar{c}_{22} (\frac{\partial v}{\partial y})^2 + \bar{c}_{66} ((\frac{\partial u}{\partial y})^2 + 2\frac{\partial u}{\partial y} \frac{\partial v}{\partial x} + (\frac{\partial v}{\partial x})^2)] J dr ds \quad (14)$$

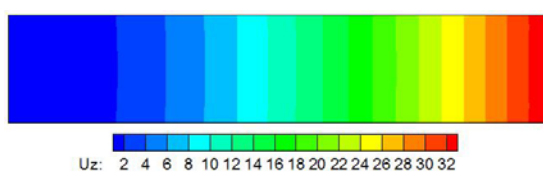
$$l(\mathbf{u}) = -h_{\text{patch}} \iint_{\Omega_{\text{patch}}} (uf_x + vf_y) dx dy - h_{\text{patch}} \iint_{\Gamma_{\text{patch}}} (ut_x + vt_y) d\Gamma \quad (15)$$

زیرنویس patch در اینجا مشابه روش اجزای محدود که برای المان‌ها استفاده می‌شود، برای وصله‌های تشکیل دهنده‌ی هندسه‌ی مسئله استفاده شده است. هم‌چنین از پارامتر  $\Gamma$  برای انتگرال‌گیری روی مرزها و از پارامتر  $\Omega$  برای انتگرال‌گیری روی سطح استفاده شده است.  $t_x$  و  $t_y$  نیروهای خارجی (Traction forces) و پارامتر  $h$  نیز ضخامت هر وصله می‌باشد.

پس از نوشتتن شکل ضعیف معادلات و محاسبه‌ی ژاکوین‌های مورد نیاز (۲) به دستگاه معادلاتی به شکل رابطه‌ی (۱۶) می‌رسیم که با حل آن می‌توان مختصات ارتفاع نقاط کنترلی را برای تولید رویه جواب محاسبه نمود. سپس با استفاده از فرمول تولید رویه و تکنیک معکوس نریز می‌توان مقدار تغییر مکان برای هر نقطه‌ی دلخواه از مسئله و یا کانتورهای تنش و تغییر مکان را برای مسئله به دست آورد:

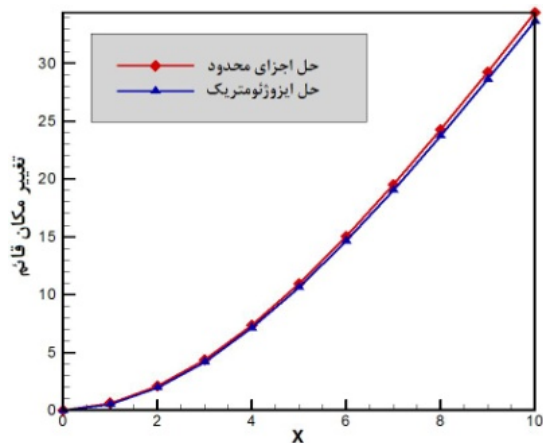


شکل ۳ شبکه بندی اجزای محدود و سایر مشخصات مثال ۱



شکل ۶ تحلیل ایزوژئومتریک مثال ۱

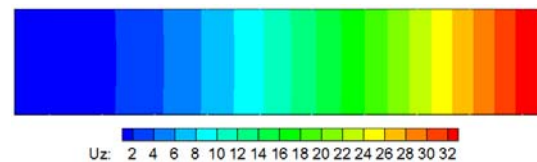
همانگونه که از روی کانتورهای شکل‌های (۴) و (۶) ملاحظه می‌شود، نتایج تحلیل، بسیار به یکدیگر شبیه است که این مسئله برای تغییر شکل قائم محور میانی صفحه‌ی مستطیلی فوق در شکل (۷) نشان داده شده است:



شکل ۷ مقایسه نتایج روش اجزای محدود با روش ایزوژئومتریک

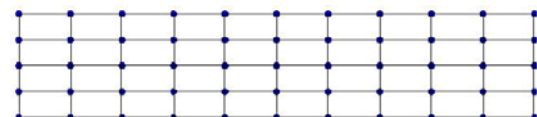
توجه شود که در واقع در تحلیل ایزوژئومتریک فقط از ۱۲ المان که در واقع از حاصل ضرب تعداد دهانه‌های گرهی حاصل می‌شود، استفاده شده است؛ در حالی که در روش اجزای محدود از ۹۶۰ المان چهار گرهی استفاده شده است که حدود ۸۰ برابر بیشتر است. همچنین در روش تحلیل ایزوژئومتریک، تعداد مجهولات گرهی در حدود ۱۰۰ و در اجزای محدود در حدود ۱۰۰۰ است که باز ملاحظه می‌شود تغییرات قابل ملاحظه‌ای در ابعاد دستگاه معادلات نهایی ایجاد شده است که سبب افزایش سرعت و دقیق حل مسئله در

نتیجه تحلیل مسئله برای تغییر مکان قائم  $u_z$  صفحه مستطیلی با روش اجزای محدود در شکل (۴) نشان داده شده است.



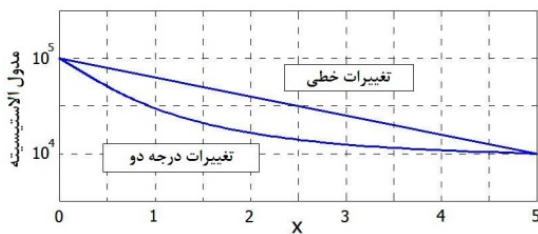
شکل ۸ تحلیل اجزای محدود مثال ۱

البته مسئله مذکور با تعداد المان‌های بیشتر نیز حل شده که اساساً تغییر معناداری در جواب‌ها حاصل نشده است. اکنون مسئله فوق را با روش ایزوژئومتریک و با تعداد ۵۵ نقطه‌ی کنترلی مطابق شکل (۵) حل می‌کنیم. با دقت در شکل (۵) نتیجه می‌گیریم که هر مستطیل یک المان نیست و اصلاً در این خصوص شباهتی بین اجزای محدود و روش ایزوژئومتریک وجود ندارد. در واقع، المان‌های روش ایزوژئومتریک از حاصل ضرب بردارهای گرهی به دست می‌آید. در حالت کلی گره‌ها در اجزای محدود بر روی دامنه قرار می‌گیرند؛ در حالی که در روش ایزوژئومتریک نقاط کنترلی می‌توانند بر روی دامنه نباشند.



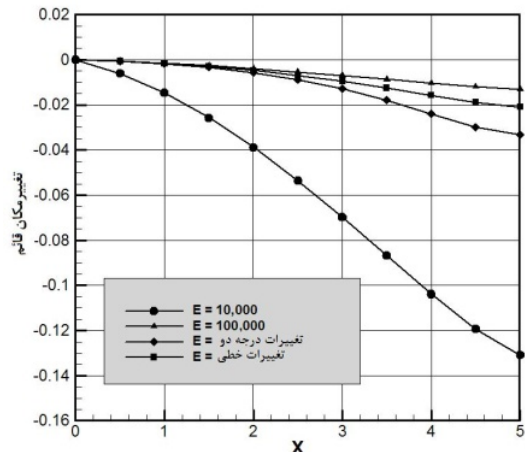
شکل ۹ شبکه‌ی نقاط کنترلی در صفحه‌ی مستطیلی

بردار گره برای جهت طولی برابر با  $\{1\omega_1 + 1\omega_2 + 0.75\omega_3 + 0.25\omega_4 + 0.0\omega_5\}$  و برای جهت عرضی برابر با  $\{1\omega_1 + 1\omega_2 + 0.66\omega_3 + 0.33\omega_4 + 0.0\omega_5\}$  در نظر گرفته شده است. همچنین درجه توابع پایه اسپلاین در این مسئله مساوی دو لحاظ گردیده است. نتیجه‌ی تحلیل ایزوژئومتریک با شرایط ذکر شده، در شکل (۶) نشان داده شده است.



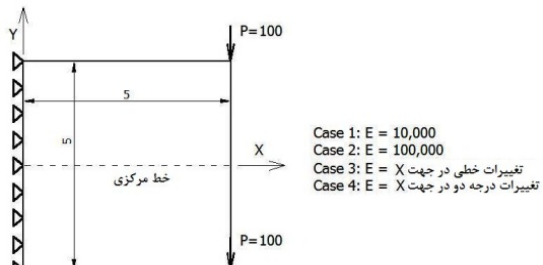
شکل ۹ تغییرات خطی و درجه دو مدول الاستیسیته

همان‌گونه که به طور منطقی انتظار می‌رود،  
بایستی جواب‌های مراحل سه (با تغییرات خطی) و  
چهار (با تغییرات درجه دو) بین دو حالت حدی یک و  
دو قرار داشته باشد. با ترسیم نتایج تغییر مکان خط  
مرکزی این صفحه مستطیلی مطابق شکل (۱۰) نتایج  
قابل ملاحظه می‌باشد.

شکل ۱۰ نتایج تغییر مکان قائم محور صفحه مربعی برای چهار  
حالت متفاوت

هم‌چنین ملاحظه می‌شود که با توجه به ساختی  
بالاتر مسئله در حالت سوم با توزیع خطی مدول  
الاستیسیته، انتظار می‌رود که نتایج آن بین حالت دوم و  
چهارم قرار بگیرد که این مسئله نیز در شکل، قابل  
ملاحظه است. در انتهای می‌توان گفت که روش  
ایزوژئومتریک، توانمندی بالایی در حل مسایل  
الاستیسیته؛ به خصوص مسایل FG دارد که برای

روش ایزوژئومتریک شده است. هم‌چنین در روش  
اجزای محدود برای مدل‌سازی تکیه‌گاه فقط نقاط  
تکیه‌گاهی گیردار می‌شوند که از معایب و ضعف‌های  
روش اجزای محدود محسوب می‌شود، در حالی که در  
روش ایزوژئومتریک کل وجه سمت چپ صفحه  
مستطیلی به صورت سراسری و پیوسته به صورت  
گیردار مدل می‌شود که باز تفاوت در دقیقیت مدل‌سازی  
نسبت به روش اجزای محدود، روشن خواهد بود.  
مثال ۲: در این مثال، مطابق شکل (۸) یک صفحه‌ی  
مربعی به ابعاد پنج در پنج با ضخامت واحد تحت اثر  
دو بار متتمرکز در انتهای آزادش قرار دارد. به دلیل  
این‌که حل مسایل با مصالح FG در روش اجزای  
محدود مشکل است و برای این‌که از صحیح جواب‌ها  
مطمئن باشیم، این مسئله با یک روند منطقی و در چهار  
حالت مجزا حل شده است.

شکل ۸ صفحه‌ی مربعی با چهار حالت مجزا در توزیع مدول  
الاستیسیته

در حالت اول و دوم فرض شده است که مدول  
الاستیسیته در کل دامنه ثابت بوده و مقادیر آن به ترتیب؛  
۱۰۰۰۰ و ۱۰۰۰۰۰ لحظه شده است. در واقع، علت این  
فرض به دلیل داشتن نتایج تحلیل مسئله برای دو حالت  
حدی می‌باشد. سپس در حالت سوم، فرض شده است  
که مدول الاستیسیته از ۱۰۰۰۰ به ۱۰۰۰ به صورت  
خطی تغییر می‌کند؛ به طوری که مقدار ماکریم در  
سمت تکیه‌گاه قرار دارد. در حالت چهارم نیز فرض  
شده است که این تغییرات به صورت درجه دو می‌باشد.  
شکل (۹) ملاحظه شود.

کوتاهی خواهد شد. از مزایای این روش که در حل مسائل مشاهده شد، می‌توان به راحتی، سرعت و دقیق بالای مدل‌سازی هندسه و مصالح، نسبت به روش اجزای محدود، عدم نیاز به شبکه بندهی مسئله، کاهش ابعاد دستگاه معادلات و برآورده شدن دقیق شرایط مرزی در مدل‌سازی مسئله اشاره نمود. به عنوان پیشنهاد می‌توان از این روش در بهینه سازی توپولوژی و شکل سازها (Structural Shape and Topology Optimization) با توجه به کاهش چشم‌گیر متغیرهای طراحی و تولید شکل‌های بسیار عملی‌تر با مرزهای یکنواخت (Smooth FG boundaries) و یا حل مسائل با مصالح Functionally Graded Materials (FGM) که انجام هر کدام با روش اجزای محدود دارای ضعف‌های مشهودی می‌باشد، استفاده نمود.

آشنایی بیشتر با برخی از توانمندی‌های این روش، می‌توان به مراجع [18,19] رجوع نمود.

### نتیجه‌گیری

روش اجزای محدود، روشنی شناخته شده و توانمند در تحلیل مسائل سازه و مکانیک می‌باشد؛ ولی با توجه به برخی از محدودیت‌های این روش، روش‌های دیگری مانند روش‌های بدون شبکه و روش ایزوژئومتریک برای پوشش ضعف‌های آن در سال‌های اخیر ارائه شده‌است. با توجه به این‌که روش ایزوژئومتریک در ابتدای راه تکامل خود قرار دارد و هنوز در هیچ‌یک از نرم افزارهای تجاری در جهان مورد استفاده قرار نگرفته است، ولی پتانسیل بالای این روش در حل مسائل پیچیده مکانیک و سازه، سبب ارتقا و عمومی شدن این روش در زمان

### مراجع

- Hughes, T. J. R., and Cottrell, J.A., “Bazilevs Y. Isogeometric analysis: CAD, finite elements, NURBS, exact geometry and mesh refinement”, Computers Method in Applied Mechanics and Engineering, 194 pp. 4135–4195, (2005).
- Hassani, B., and Moghaddam, N.Z., “Development of a new numerical method for solution of ordinary differential equations by using spline basis functions”, Shahrood University of Technology, Technical Report No. 1015, Shahrood, Iran, (2009).
- Shiota, I., and Miyamoto, Y., “Functionally graded materials 1996”, 1st Ed., ELSEVIER SCIENCE B.V., Proceedings of the 4th international symposium on Functionally Graded Materials, AIST Tsukuba Research center, Tsukuba, Japan, (1996).
- Niino, M., and Maeda, S., “Recent development status of functionally gradient materials”, ISIJ International 30 pp. 699–703, (1990),
- Huang, Z. Y., and Lu, C. F., and Chen, W. Q., “Benchmark solutions for functionally graded thick plates resting on Winkler–Pasternak elastic foundations”, Composite Structures 85 pp.95–104, (2008).
- Wu, T. L., and Shukla, K. K., and Huang, J. H., “Post-buckling analysis of functionally graded rectangular plates”, Composite Structures 81 pp. 1–10, (2007).

7. Matsunaga, H., "Free vibration and stability of functionally graded circular cylindrical shells according to a 2D higher-order deformation theory", *Composite Structures* 88 pp.519–531, (2009).
8. Dag, S., and Yildirim, B., and Sarikaya, D., "Mixed-mode fracture analysis of orthotropic functionally graded materials under mechanical and thermal loads", *Int. Journal of Solids and Structures* 44 pp. 7816–7840, (2007).
9. Lipton, R., "Design of functionally graded composite structures in the presence of stress constraints", *Int. Journal of Solids and Structures* 39 pp. 2575–2586, (2002).
10. Ootao, Y., and Tanigawa, Y., and Ishimaru, O., "Optimization of material composition of functionally graded plate for thermal stress relaxation using a genetic algorithm", *J. Therm. Stresses* 23 pp. 257–271, (2000).
11. Piegl, L., and Tiller, W., "The NURBS Book (Monographs in Visual Communication)", 2nd ed., Springer-Verlag, New York, pp. 81-227, (1997).
12. Rogers, D. F., "An Introduction to NURBS: With Historical Perspective", 2nd ed., Morgan Kaufmann Publishers, pp. 12-87, (2001).
13. Cottrell, J. A., and Hughes, T. J. R., and Reali, A., "Studies of refinement and continuity in isogeometric structural analysis", *Comput. Methods Appl. Mech. Engrg.* 196, pp. 4160–4183, (2007).
14. Bazilevs, Y., and BeiraoDaVeiga, L., and Cottrell, J., and Hughes, T.J.R., and Sangalli, G., "Isogeometric analysis: approximation, stability and error estimates for h-refined meshes", *Math. Mod. Meth. Appl. Sci.* 16, pp. 1031–1090, (2006).
15. Bazilevs, Y., and Calo, V., and Cottrell, J., and Hughes, T. J. R., and Reali, A., and Scovazzi, G., "Variational multiscale residual-based turbulence modeling for large eddy simulation of incompressible flows", *Comput. Meth. Appl. Mech. Engrg.* 197 (1–4), pp. 173–201, (2007).
16. Bazilevs, Y., and Calo, V., and Zhang, Y., and Hughes, T.J.R., "Isogeometric fluid structure interaction analysis with applications to arterial blood flow", *Comput. Mech.* 38 (4) pp. 310–322, (2006).
17. Cottrell, J. A., and Reali, A., and Bazilevs, Y., and Hughes, T. J. R., "Isogeometric analysis of structural vibrations", *Comput. Meth. Appl. Mech. Engrg.* 195 (41–43), pp. 5257–5296, (2006).
18. Hassani, B., and Khanzadi, M., and Tavakkoli, S. M., and Moghaddam, N. Z., "Isogeometric shape optimization of three dimensional problems", 8th World Congress on Structural and Multidisciplinary Optimization, Lisbon, Portugal, (2009).
19. Hassani, B., and Moghaddam, N. Z., and Tavakkoli, S. M., "Isogeometrical solution of Laplace equation", *Asian journal of civil engineering (building and housing)*, 10(6), pp. 579-592, (2009).